

Effect of aqueous extract of *Origanum vulgare* on acute promyelocytic leukemia cell line (HL-60)

Ali Mohammadi-Gollou¹, Reza Mohammadzadeh², Mohsen Sagha³, Mohammad Mohammadzadeh-Vardin⁴

1. MSc in Genetics, Department of Biology, Faculty of Basic Sciences, University of Maragheh, Maragheh, Iran. ORCID ID: 0000-0002-6629-3112

2. Assistant Professor, Department of Biology, Faculty of Basic Sciences, University of Maragheh, Maragheh, Iran., (Corresponding Author), Tel: +41-37278900, Email: rmohammadzadeh82@gmail.com. ORCID ID: 0000-0002-7893-5151

3. Associate Professor, Research Laboratory for Embryology and Stem Cells, Department of Anatomical Sciences and Pathology, School of Medicine, Ardabil University of Medical Sciences, Ardabil, Iran. ORCID ID: 0000-0003-0290-5834

4. Assistant Professor, Research Laboratory for Embryology and Stem Cells, Department of Anatomical Sciences and Pathology, School of Medicine, Ardabil University of Medical Sciences, Ardabil, Iran., (Corresponding Author), Tel: +98-45-33513776, Email: m.mohammadzadeh@arums.ac.ir & hematologym@gmail.com. ORCID ID: 0000-0002-3570-6834

ABSTRACT

Background and Aim: Acute promyelocytic leukemia is a malignancy of myeloid cells that are associated with resistance to apoptosis and differentiation arrest in promyelocytes in the bone marrow. The aim of this study was to investigate the effect of *Origanum vulgare* aqueous extract on apoptosis induction in an acute promyelocytic leukemia cell line (HL-60).

Materials and Methods: The viability of HL-60 cells under treatment with various doses of *Origanum vulgare* extract was assessed by using a cell cytotoxic assay. Then, IC₅₀ values were determined after 24, 48, and 72 hours. The expression of Caspase8, Caspase9, Bax, Bcl2, and Nrf2 genes were measured by real-time PCR assay and different stages of apoptosis and necrosis in HL-60 cells were investigated using acridine orange/ethidium bromide double staining. Finally, data were introduced into SPSS software and analyzed by one-way ANOVA.

Results: The results showed that *Origanum vulgare* extract decreased HL-60 cell survival and Caspase9, Caspase8, Bax, Bcl2, and Nrf2 gene expressions were changed after 72 hours of treatment with 1/5 of IC₅₀ of *Origanum vulgare* extract. Also, morphological changes in the nucleus indicated apoptosis induction in HL-60 cells.

Conclusion: It seems that the aqueous extract of *Origanum vulgare* leaves can induce apoptosis in an acute promyelocytic leukemia cell line (HL-60) under experimental conditions.

Keywords: *Origanum vulgare*, Acute myeloid leukemia, Apoptosis, Plant extracts

Received: May 5, 2019

Accepted: July 27, 2020

How to cite the article: Ali Mohammadi-Gollou, Reza Mohammadzadeh, Mohsen Sagha, Mohammad Mohammadzadeh-Vardin. The Effect of Aqueous Extract of *Origanum vulgare* on Acute Promyelocytic Leukemia Cell Line (HL-60). SJKU 2021;25(6):10-20.

Copyright © 2018 the Author (s). Published by Kurdistan University of Medical Sciences. This is an open access article distributed under the terms of the Creative Commons Attribution-Non Commercial License 4.0 (CCBYNC), where it is permissible to download, share, remix, transform, and buildup the work provided it is properly cited. The work cannot be used commercially without permission from the journal

تأثیر عصاره آبی گیاه مرزنجوش بر ردهی سلولی لوسمی پرومیلوسیت حاد (HL-60)

علی محمدی گللو^۱، رضا محمدزاده^۲، محسن سقا^۳، محمد محمدزاده وردین^۴

۱. کارشناس ارشد ژنتیک، گروه زیست‌شناسی، دانشکده علوم پایه، دانشگاه مراغه، مراغه، ایران. کد ارکید: ۰۰۰۰۰۰۰۲-۶۶۲۹-۳۱۱۲

۲. استادیار، گروه زیست‌شناسی، دانشکده علوم پایه، دانشگاه مراغه، مراغه، ایران. (نویسنده مسئول)، تلفن: ۰۴۱-۳۷۷۸۹۰۰، پست الکترونیک: rmohammadzadeh82@gmail.com

۳. دانشیار، آزمایشگاه جنین‌شناسی و سلول‌های بنیادی، گروه علوم تشریحی و پاتولوژی، دانشکده پزشکی، دانشگاه علوم پزشکی اردبیل، اردبیل، ایران. کد ارکید: ۰۵۸۳۴-۰۰۰۰۰۰۳۰۲۹۰

۴. استادیار، آزمایشگاه جنین‌شناسی و سلول‌های بنیادی، گروه علوم تشریحی و پاتولوژی، دانشگاه پزشکی اردبیل، اردبیل، ایران. (نویسنده مسئول)، تلفن ثابت: ۰۴۵-۳۳۵۱۳۷۶، پست الکترونیک hematologym@gmail.com و m.mohammadzadeh@arums.ac.ir، کد ارکید: ۰۶۸۳۴-۰۰۰۰۰۲-۳۵۷۱

....

چکیده

زمینه و هدف: لوسمی پرومیلوسیت حاد (AML-M3) از بدخیمی‌های سلول‌های میلوئیدی است که با مقاومت به آپوپتوز و توقف تمایز در سلول‌های پرومیلوسیت در غمز استخوان همراه است. هدف از این مطالعه بررسی تأثیر عصاره آبی مرزنجوش بر القای آپوپتوز در ردهی سلولی لوسمی پرومیلوسیت حاد (HL-60) بود.

مواد و روش‌ها: قدرت بقای سلول‌های HL-60 تحت تیمار با غلظت‌های مختلف عصاره مرزنجوش با استفاده از تست سمیت سلولی مورد بررسی قرار گرفت و مقادیر IC50 در زمان‌های ۲۴، ۴۸ و ۷۲ ساعت برای این سلول‌ها تعیین گردید. بیان ژن‌های Real Time PCR Nrf2 و Bcl-2، Caspase9، Caspase8، Bax، Caspase9، Caspase8 و Nrf2 با تست SPSS آنالیز واریانس یک طرفه تجزیه و تحلیل شدند.

یافته‌ها: نتایج نشان داد، عصاره مرزنجوش باعث کاهش قدرت بقا در سلول‌های HL-60 شده و بیان ژن‌های Caspase9

در اثر تیمار با IC50 از ۷۲ ساعت عصاره مرزنجوش دچار تغییر شده است. همچنین تغییرات ریخت شناسی هسته حاکی از القای آپوپتوز در سلول‌های HL-60 می‌باشد.

نتیجه‌گیری: به نظر می‌رسد عصاره آبی برگ گیاه مرزنجوش می‌تواند موجب القای آپوپتوز در ردهی سلولی لوسمی پرومیلوسیتیک حاد (HL-60) تحت شرایط آزمایشگاهی شود.

کلمات کلیدی: مرزنجوش، لوسمی میلوئیدی حاد، آپوپتوز، عصاره‌های گیاهی

وصول مقاله: ۹۸/۲/۱۵؛ اصلاحیه نهایی: ۹۹/۴/۸؛ پذیرش: ۹۹/۵/۶

مرزنجوش با نام علمی *Origanum vulgare* گیاهی چند ساله است که در نواحی مدیترانه‌ای، اروپا و آسیای صغیر یافت می‌شود و دارای خاصیت آنتی اکسیدان قوی بوده و خواص ضد باکتریایی و سمیت سلولی آن نیز مطالعه شده است^(۸). همچنین خاصیت‌های ضد فارچی، ضد جهشی، ضد گزایی، ضد انگلی و ضد دیابتی برای جنس‌های مختلف مرزنجوش مورد مطالعه قرار گرفته است^(۹). در طی مطالعات متعدد قبلی به خوبی ثابت شده است که مرزنجوش مشابه را دارد^(۱۰, ۱۱). قبال نشان داده شده است که به طور جالب توجهی عصاره مرزنجوش در عین حفظ سلول‌های طبیعی، موجب القای آپوپتوز در سلول‌های سرطان کولون می‌شود که دلیل این امر تا کنون به روشنی مشخص نگردیده است^(۱۲).

ما در این مطالعه، تأثیر عصاره مرزنجوش را بر کاهش قدرت بقا و القای آپوپتوز در رده‌ی سلولی HL-60 (رده‌ی مطالعاتی لوسومی پرومیلوسیت حاد) بررسی کردی‌ایم. بیان ژن‌های Caspase9, Nrf2 و Bcl-2 تحت تأثیر با عصاره تغییرات متفاوتی از خود نشان داده‌اند. Caspase8 به عنوان واسطه‌گر مسیر خارجی آپوپتوز و Caspase9 به عنوان واسطه‌گر مسیر داخلی، با نسبت‌های مختلفی در تیمار با عصاره مرزنجوش دچار تغییر بیان شده‌اند. همچنین تست رنگ آمیزی آکریدین اورنج/ایدیوم بروماید جهت تعیین مراحل مختلف آپوپتوز در رده‌ی سلولی HL-60 تحت تیمار با عصاره مرزنجوش بکار رفته است.

مواد و روش‌ها

تهیهٔ عصاره‌ی آبی مرزنجوش:

مقدمه

لوسومی میلوئید حاد (Acute Myeloid Leukemia)، از بدخیمی‌های رده‌ی سلولی میلوئیدی است که با عوارض شدیدی همانند عفونت و خونریزی کشنده همراه است^(۱). لوسومی پرومیلوسیت حاد (AML) یا AML-M3 از زیرنوع‌های لوسومی‌های میلوئیدی حاد است که اگرچه در رده‌های سنی مختلفی بروز پیدا می‌کند؛ اما در بین کودکان بروز بیشتری دارد. میزان بروز این بیماری ۵ تا ۱۰ درصد از کودکان مبتلا به لوسومی میلوئیدی حاد در آمریکا را شامل می‌شود^(۳, ۲). همچنین، لوسومی پرومیلوسیت حاد ۵ تا ۸ درصد از کل افراد مبتلا به لوسومی میلوئیدی حاد را شامل می‌شود. برخلاف سایر انواع لوسومی‌های میلوئیدی حاد، لوسومی پرومیلوسیت حاد در صورت عدم تشخیص و درمان به موقع می‌تواند منجر به اختلال انعقادی خون و مرگ فرد مبتلا شود^(۴).

توقف فرآیندهای آپوپتوز و تمایز سلول‌های میلوئیدی در افراد مبتلا به لوسومی پرومیلوسیت حاد موجب تجمع سلول‌های بلاستیک تمایز نیافته می‌شود. برای درمان این لوسومی القای تمایز و آپوپتوز در فازهای کلینیکی و آزمایشگاهی مورد مطالعه قرار گرفته است^(۵). آپوپتوز به عنوان یکی از مهم‌ترین فرآیندهای کنترل کننده رشد و تکثیر سلول‌ها، به طور طبیعی در همه سلول‌ها امکان رخداد دارد. این فرایند در دو مسیر داخل سلولی و خارج سلولی اتفاق می‌افتد که با تغییر در بیان ژن‌های مسیر کاسپازی و میتوکندریایی و تغییر ریخت‌شناسی هسته سلول همراه است^(۶). مقاومت به آپوپتوز و توقف تمایز در سلول‌های لوسومیک از مهم‌ترین مشخصه سرطانی شدن این سلول‌ها است. القای آپوپتوز در سلول‌های سرطانی می‌تواند راهی امیدوار کننده جهت درمان این بیماری با اثرات جانبی کمتر باشد^(۷).

تست Real Time PCR

به منظور بررسی بیان ژن‌های مسیر آپوپتوز، سلول‌های HL-60 با مقدار $\frac{1}{5}$ IC50 عصاره مرزنجوش به مدت ۷۲ ساعت تیمار شدند. سپس RNA سلول‌ها توسط کیت RNX plus شرکت سیناکلون و بر اساس پروتکل شرکت سازنده، استخراج شد و در مرحله بعد، با استفاده از کیت سنتر cDNA شرکت Vivantis و با استفاده از دستگاه ترمال سایکلر (BioRad, Germany) از RNA استخراج شده، cDNA سنتر گردید. جهت سنتر cDNA به ۱۰۰۰ نانوگرم بر میکرولیتر RNA، به ترتیب ۱ میکرولیتر Oligo dT و ۱ میکرولیتر dNTP mix افزوده شده با اضافه کردن ۱۰ میکرولیتر Nuclease Free Water حجم نهایی به ۲۰ میکرولیتر رسید. ابتدا انکوباسیون اولیه در دمای ۶۵ درجه سانتی گراد به مدت ۵ دقیقه انجام گرفته و سپس به مدت ۲ دقیقه روی بخ قرار داده شدند. بعد از گذشت این زمان، مقادیر ۰/۵ میکرولیتر Reverse Transcriptase و ۰/۵ میکرولیتر Random Hexamer، ۰/۵ میکرولیتر RNaseH میکرولیتر Nuclease Free Water (از کیت Vivantis) به محلول واکنش اضافه گردید. مواد فوق با یکدیگر مخلوط شده و به مدت ۱۰ دقیقه در دمای ۲۵ درجه سانتی گراد انکوبه شدند. سپس جهت سنتر cDNA به مدت ۱ ساعت در معرض دمای ۴۲ درجه سانتی گراد قرار گرفته و پس از آن به مدت ۵ دقیقه در دمای ۸۵ درجه سانتی گراد قرار داده شدند تا اثر آنزیم ترانس کرپتاز معکوس خشی شود. سپس cDNA سنتر شده، در دمای ۲۰ درجه سانتی گراد برای انجام آزمایش‌های بعدی نگهداری شد. جهت انجام واکنش Real Time PCR، بعد از تعیین دماهای بهینه واکنش، مقادیر ۱۲/۵ میکرولیتر Syber Blue (از کیت Sinaclon)، ۳۰۰ نانوگرم بر میکرولیتر cDNA، ۰/۵ میکرولیتر Nuclease Free Water و ۱ میکرولیتر از هر کدام از پرایمرهای Forward و Reverse با هم دیگر ترکیب شده و در حجم نهایی ۲۵ میکرولیتر در دستگاه Real

به منظور تهیه عصاره آبی گیاه، مقدار ۴ گرم از پودر برگ مرزنجوش خریداری شده از مرکز ملی ذخایر زیستی و ژنتیکی ایران (IBRC) در دمای ۹۰ درجه سانتی گراد به مدت ۳۰ دقیقه در آب دو بار تقطیر جوشانده و دوبار با کاغذ صافی فیلتر گردید. سپس با استفاده از دستگاه فریز-درایر (Christ, آلمان) از عصاره فریز شده در دمای -۳۰ درجه، پودر تهیه گردید. پودر حاصله به منظور انجام آزمایش‌ها در دمای -۳۰ درجه سانتی گراد نگهداری شد (۱۳).

کشت سلولی:

سلول‌های HL-60 از انسیتو پاستور ایران خریداری گردیده و در محیط کشت (Biowest) RPMI 1640 با ۱۰ درصد (V/V) سرم جنین گاوی (FBS, Gibco) غیرفعال شده با گرما و یک درصد آنتی‌بیوتیک پنی سیلین-استرپتومایسین، در دمای ۳۷ درجه سانتی گراد انکوباتور حاوی ۵ درصد CO₂ کشت داده شد. با توجه به ماهیت شناور بودن سلول‌های HL-60، سلول‌ها پس از سانتریفیوژ به مدت ۷ دقیقه در دور ۳۰۰ جی، به تعداد ۱۰۰ هزار سلول در هر سی سی در حجم نهایی ۵ سی سی در فلاسک T25 (SPL) کشت داده شدند و هر سه روز یکبار پاساژ سلولی تکرار گردید (۱۴).

تست سمیت سلولی:

به منظور بررسی میزان بقای سلول‌ها بعد از تیمار با عصاره مرزنجوش از تست MTT استفاده شد. در این تست سلول‌ها در تعداد ۴۰۰۰ سلول در ول ۹۶ خانه با غلظت‌های مختلف از عصاره مرزنجوش تیمار شدند. بعد از گذشت ۲۴، ۴۸ و ۷۲ ساعت، سلول‌ها سانتریفیوژ شدند و مایع رویی پس از سانتریفیوژ برداشته شده و به هر چاهک از پلیت ۹۶ خانه، ۲۰۰ میکرولیتر DMSO اضافه گردید میزان جذب سلول‌ها در هر خانه با دستگاه میکرولیت ریدر، Biotek (USA) در طول موج ۵۷۰ نانومتر اندازه‌گیری شد. درصد بقای سلول‌ها در غلظت مهاری ۵۰ درصد (IC50) محاسبه و برای تست‌های بعدی مورد استفاده قرار گرفت (۱۵).

فرمول $\Delta\Delta Ct^2$ استفاده گردید. به طوری که مقادیر بیشتر از ۱ نشان دهنده افزایش و مقادیر کمتر از ۱ نشان دهنده کاهش بیان ژن مورد نظر است.

Time PCR (Rosch, Germany) قرار داده شدند تا واکنش ۳ مرحله‌ای PCR در ۴۰ چرخه انجام گیرد. ژن GAPDH نیز به عنوان کنترل داخلی در نظر گرفته شد (۲۲-۱۶). توالی پرایمرها در جدول شماره ۱ ارائه گردیده است. به منظور سنجش میزان تغییرات بیان ژن‌های مورد نظر از

جدول ۱. توالی پرایمرهای مورد استفاده در تست Real Time PCR

منابع	پرایمر Reverse	پرایمر Forward	ژن
(۱۷)	AAGCTTCCCGTTCTCAG	GTCGGAGTCAACGGATT	GAPDH
(۱۸)	TCCAAATGCAAACGGATGA	TCCAAATGCAAACGGATGA	Caspase8
(۱۹)	GCATTAGCGACCCTAACGAG	CTAGTTGCCACACCCAGT	Caspase9
(۲۰)	CAGTTGAAGTTGCCGTCAAGA	CAGTTGAAGTTGCCGTCAAGA	Bax
(۲۱)	GCCGGTTCAGGTACTCAGTC	CATGTGTGGAGAGCGTCAA	Bcl ₂
(۲۲)	GTTGGCAGATCCACTGGTTCTG	GCGACGGAAAGAGTATGAGCTGG	Nrf2

رنگ آمیزی آکریدین اورنج / اتیدیوم بروماید

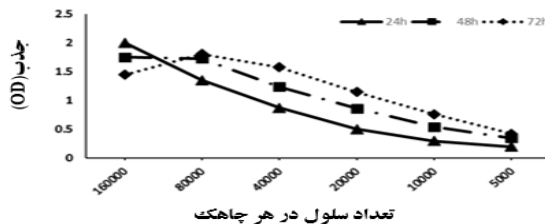
افزار ED50 نسخه ۱۰ استفاده شد و میزان معنی‌داری داده‌ها با نرم‌افزار SPSS نسخه ۱۶، تعیین گردید. جهت رسم نمودارها از نرم‌افزار Excel استفاده شد.

سلول‌های HL-60 با غلظت‌های مختلف از عصاره مرزنجوش به مدت ۷۲ ساعت تیمار شدند. سپس، سلول‌ها سانتی‌فیوژ شده و با ۱% PBS شستشو شدند. سلول‌های HL-60 با ۲۰۰ میکرولیتر آکریدین اورنج / اتیدیوم بروماید (۱:۱) به مدت ۳ دقیقه در انکوباتور تیمار شده و با میکروسکوپ فاز کنتراست (Olympus، آلمان) عکس‌برداری شدند. بر اساس رنگ و ریخت‌شناسی هسته، سلول‌های با آپوپتوز اولیه، آپوپتوز ثانویه و نکروز از هم دیگر مشخص شدند (۲۳).

آنالیز آماری:

تعیین تعداد سلول بهینه جهت تست MTT برای تعیین تعداد مناسب سلول‌ها جهت کشت در پلیت ۹۶ خانه، سلول‌های HL-60 در تعداد و حجم‌های مختلف و در زمان‌های ۲۴، ۴۸ و ۷۲ ساعت کشت داده شدند. سپس با تست MTT تعداد مناسب جهت تست MTT تعیین گردید (نمودار ۱). بیشترین تفاوت قابل توجه در تعداد ۴۰ هزار سلول در هر پلیت ۹۶ خانه‌ای در OD تست MTT مشاهده شد.

با توجه به توزیع نرمال بودن داده‌ها، از آزمون آماری آنالیز واریانس یک طرفه و آزمون تعقیبی توکی به منظور آنالیز نتایج استفاده گردید. مقدار P کمتر از ۰/۰۵ معنی دار در نظر گرفته شد. به منظور تعیین مقدار IC50 از نرم-

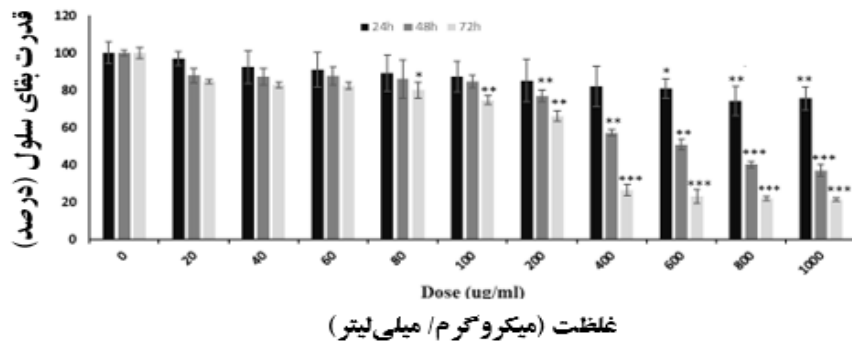


نمودار ۱. تعیین تعداد سلول‌ها جهت تست سمیت سلولی. تعداد سلول‌ها از ۱۶۰۰۰۰ تا ۵۰۰۰ ساعت، تست سمیت سلولی انجام شد. در تعداد ۴۰ هزار سلول در هر ول، بیشترین تفاوت در OD مشاهده می‌شود؛ بنابراین جهت ادامه آزمایش‌ها از این تعداد سلول برای کشت در هر ول استفاده گردید.

MTT نشان می‌دهند. نمودار مرگ سلول‌های HL-60 یک فرآیند وابسته به دوز و زمان را برای سلول‌های تیمار شده توصیف می‌کند (نمودارهای ۲ و ۳).

تأثیر عصاره مرزنجوش بر قدرت بقای سلول‌های HL-60 بعد از تیمار با عصاره مرزنجوش در غلظت‌های مختلف و به مدت ۲۴، ۴۸ و ۷۲ ساعت، مقادیر مختلفی از IC50 را متناسب با زمان تیمار با عصاره مرزنجوش توسط آزمون

سلول‌های HL60 تیمار شده با عصاره مرزنجوش



نمودار ۲. نمودار وابسته به غلظت و زمان قدرت بقای سلول‌های HL-60 در تیمار با غلظت‌های مختلف عصاره مرزنجوش. سلول‌های HL-60 با غلظت‌های مختلف از عصاره مرزنجوش به مدت ۲۴، ۴۸ و ۷۲ ساعت تیمار شده‌اند. $**P < 0.01, ***P < 0.001$.

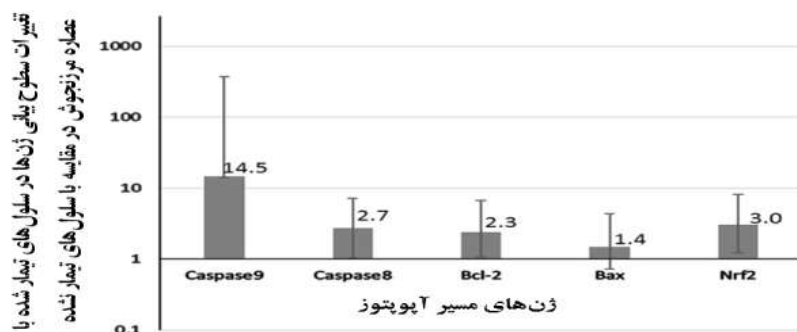


نمودار ۳. مقادیر IC50 برای سلول‌های HL-60 بعد از تست سمیت سلوی. مقادیر IC50 بعد از ۲۴، ۴۸ و ۷۲ ساعت تیمار سلول‌ها با عصاره مرزنجوش، تعیین گردیده است.

های Caspase9، Bcl2، Caspase8 و Nrf2 افزایش داشته است. مشاهدات فوق حاکی از القای احتمالی آپوپتوز در سلول‌های HL-60 توسط عصاره مرزنجوش است (نمودار ۴).

بررسی بیان ژن‌های مسیر آپوپتوز:

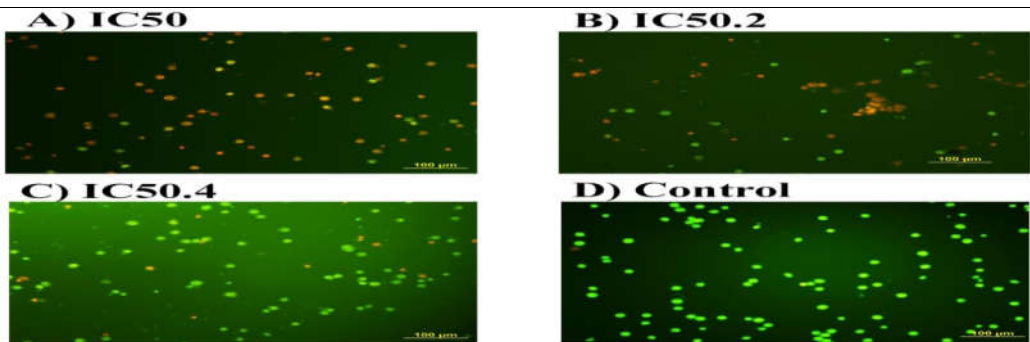
بعد از تیمار سلول‌های HL-60 با مقدار ^۱ از IC50 عصاره مرزنجوش به مدت ۷۲ ساعت، بیان ژن‌های Caspase8، Caspase9 و Bcl-2، Nrf2 مورد بررسی قرار گرفت. بعد از تعیین تغییرات Fold Change مشخص شد که بیان ژن-



نمودار ۴. نمودار تغییرات Fold Change برای ژن‌های مسیر آپوپتوز در ردیف سلولی HL-60 تحت تیمار با عصاره مرزنجوش. رنگ آمیزی سلول‌های HL-60 با آکریدین اورنج/ اتیدیوم بروماید:

سلول‌های HL-60 رنگ آمیزی شده با غلظت‌های دو برابر، برابر، نصف، یک چهارم و یک هشتم IC50، بعد از رنگ آمیزی با محلول آکریدین اورنج/ اتیدیوم بروماید، مورد بررسی قرار گرفتند. طبق مشاهدات عصاره مرزنجوش HL-60 موجب القای آپوپتوز و نکروز در سلول‌های شده‌اند. طبق انتظار با افزایش غلظت، مقدار آپوپتوز و نکروز در سلول‌ها افزایش یافته‌اند (شکل ۱).

بیان ژن‌های Caspase8، Bcl-2، Caspase9، Nrf2 بعد از تیمار سلول‌های HL-60 با IC50/۵ تعیین شده است. میزان بیان تمامی ژن‌ها در گروه تیمار شده با عصاره مرزنجوش در مقایسه با گروه کنترل بیشتر از ۱ است که نشان می‌دهد بیان آن‌ها تحت تأثیر عصاره مرزنجوش افزایش یافته است.



شکل ۱. رنگ آمیزی آکریدین اورنج / اتیدیوم بروماید برای سلول‌های مختلف مرزنگوش. مرحل آپوپتوز اولیه و ثانویه و نکروز در سلول‌های تیمار شده با مقادیر (A) برابر، (B) نصف و (C) از مقدار $\frac{1}{4}$ IC50 ساعته مرزنگوش با رنگ آمیزی آکریدین اورنج / اتیدیوم بروماید نشان داده شد. در این رنگ آمیزی سلول‌ها ۴ دسته می‌شوند: سلول‌های یکنواخت سبز رنگ، سلول‌های سالم می‌باشند؛ سلول‌های سبز رنگ با هسته قطعه قطعه، در مرحله آپوپتوز تأخیری و سلول‌های یکنواخت نارنجی رنگ، سلول‌های نکروتیک در نظر گرفته می‌شوند. در بخش A، سلول‌هایی با هسته نارنجی رنگ یکنواخت و قطعه قطعه زیادند که نشان دهنده نکروتیک و آپوپتوز تأخیری بودن سلول‌ها می‌باشند. در بخش B، علاوه از سلول‌های مرحله A، سلول‌های سبز رنگ با هسته قطعه زیاد مشخص شده‌اند که نشان می‌دهد از میزان آپوپتوز کاسته شده است. در بخش C، علاوه از سلول‌های نکروتیک و آپوپتوز تأخیری، سلول‌های سالم نیز مشاهده می‌شوند. در بخش D، سلول‌های سبز رنگ یکنواخت نشان دهنده سالم بودن سلول‌ها است. استفاده شونده در درمان لوسومی پرمیلوسیت حاد می-

بحث

داروهای شیمی درمانی استفاده شونده در درمان لوسومی‌ها، مکانیسم‌های عمل متعددی دارند. توقف تکثیر و مهار مسیرهای پیام‌رسانی سلولی، القای آپوپتوز، تمایز و اتوفاژی از جمله این مکانیسم‌ها می‌باشد(۲۴). امروزه به طور مشخصی، تأثیر محرب داروهای شیمی درمانی بر روی DNA، القای جهش و تشکیل اداکت‌های DNA در افراد سرطانی در افراد مبتلا به لوسومی پرمیلوسیت حاد می‌شود(۲۸). از سویی دیگر، ترکیبات آنتی اکسیدان می‌توانند موجب کاهش سطوح استرس اکسیداتیو سلولی شوند. یک مطالعه نشان داده است، رادیکال‌های آزاد اکسیژن نقش مهمی در آسیب و بروز جهش در سلول‌های عادی دارند(۲۹). بدین ترتیب یک روش القای مرگ سلولی بدون افزایش رادیکال‌های آزاد اکسیژن در سلول‌های سرطانی مطرح می‌شود که می‌تواند در راستای درمان با عوارض کمتر در افراد مبتلا به لوسومی پرمیلوسیت حاد مفید باشد. خاصیت بالای آنتی اکسیدانی گیاه مرزنگوش در طی مطالعات قبلی به روشنی مشخص شده است. عصاره مرزنگوش دارای ترکیبات آنتی اکسیدانی نظیر هیدروکرین‌های مونوتربن و ترکیبات فلی است. کارواکرول و تیمول ترکیباتی هستند که بیشترین فراوانی را در عصاره این گیاه دارند(۳۰). مطالعات نشان داده‌اند که

داروهای شیمی درمانی استفاده شونده در درمان لوسومی‌ها، مکانیسم‌های عمل متعددی دارند. توقف تکثیر و مهار مسیرهای پیام‌رسانی سلولی، القای آپوپتوز، تمایز و اتوفاژی از جمله این مکانیسم‌ها می‌باشد(۲۴). امروزه به طور مشخصی، تأثیر محرب داروهای شیمی درمانی بر روی DNA، القای جهش و تشکیل اداکت‌های DNA در افراد سرطانی در اثبات رسیده است. عدم عملکرد اختصاصی داروهای شیمی درمانی یکی از عواملی است که باعث بروز اثرات جانبی حین و پس از درمان نظیر عفونت، نقص سیستم ایمنی، بروز جهش‌های جدید و پان سیتوپنی در افراد مبتلا به سرطان است(۲۵). در پی رخداد توقف در فرایندهای طبیعی تمایز و آپوپتوز در افراد مبتلا به لوسومی پرمیلوسیت حاد، آرسنیک‌تری‌اکسید (ATO) به عنوان القاگر آپوپتوز و ATRA به عنوان القاگر تمایز در فاز کلینیکال به عنوان درمان لوسومی پرمیلوسیت حاد بکار برده می‌شوند(۲۶). افزایش سطوح استرس اکسیداتیو در سلول‌های سرطانی در طی القای آپوپتوز از ویژگی‌های داروهای

نتیجه‌گیری

ما در این مطالعه شاهد تأثیر عصاره مرزنجوش در سلول‌های HL-60 بودیم. عصاره مرزنجوش در طی فرایند وابسته به غلظت و زمان موجب مهار سلول‌های HL-60 و افزایش میزان بیان ژن‌های مسیر آپوپتوز شده‌اند و رنگ آمیزی آکریدین اورنج/اتدیوم بروماید حاکم از تغییر ریخت-شناسی هسته و القای آپوپتوز در سلول‌های HL-60 است. به نظر می‌رسد مطالعه مکانیسم‌های مولکولی القای مرگ سلولی در سلول‌های HL-60 به دنبال تیمار با عصاره مرزنجوش و انجام کار آزمایی‌های بالینی روی عصاره آبی این گیاه در غلظت‌های بهینه شده، بتواند منجر به معزوفی دارویی مؤثر در درمان افراد مبتلا به لوسومی پرومیلوسیت حاد گردد.

تشکر و قدردانی

پژوهش فوق حاصل پایان نامه کارشناسی ارشد رشته زیست‌شناسی-ژنتیک مصوب ۱۴ آبان ماه سال ۱۳۹۵ گروه زیست‌شناسی سلولی مولکولی دانشگاه مراغه با کد ۲۵۴۴۸۴۳ است که در آزمایشگاه مرکزی دانشکده پزشکی دانشگاه علوم پزشکی اردبیل انجام گرفته است. دانشگاه‌های مراغه و علوم پزشکی اردبیل حامی مالی این مقاله می‌باشند. نویسنده‌گان این مقاله نهایت تشکر و قدردانی خود را از عوامل و کارکنان دانشکده پزشکی بهویژه مسئولین آزمایشگاه‌های مرکزی و سلولی مولکولی اعلام می‌دارند.

گیاه مرزنجوش خاصیت ضد توموری بالای دارد. عصاره مرزنجوش به واسطه‌ی افزایش بیان ژن‌های PARP، Pro- Apaf-1، Caspase3، Caspase8، Caspase9، Caco-2 می‌شود(۱۲). عصاره مرزنجوش همچنین می‌تواند قدرت بقا را رده‌ی سلولی MDA-MB-231 کاهش داده و با افزایش بیان ژن p21 و افزایش توقف این سلول‌ها در فاز G1 و G2/M و Sub-G1، مهار میتوزی را در این سلول‌ها افزایش دهد. مرزنجوش در غلظت‌های بالا با کاهش بیان TNF- α survivin و افزایش بیان PARP و Caspase3 و Caspase8 داخل میتوکندریایی در سلول‌های MDA-MB-231 می‌شود همچنین، مرزنجوش در رده‌ی سلولی MCF-7 به میزان کمتر و در HT-29 به میزان بیشتر خاصیت سمیت سلولی داشته و موجب مهار تکثیر این سلول‌ها شده است. در رده‌ی سلولی HCT-116 نیز، عصاره مرزنجوش طی یک فرایند وابسته به زمان و غلظت، باعث کاهش بقای این سلول‌ها شده است(۳۱-۳۳). همچنین گزارش شده است که β -caryophyllene oxide استخراج شده از مرزنجوش می‌تواند با القای SHP-1 موجب کاهش بیان STAT3 و مهار فعالیت مسیرهای کینازی c-Src و ak1/2 شده و تکثیر سلولی را در رده‌های سلولی مربوط به سرطان‌های سینه، پروستات و مالتیپل میلوما کاهش دهد(۳۴). در مطالعه Elshafie و همکاران نیز، مشخص شده است که مرزنجوش در سلول‌های سرطانی HepG2 در مقایسه با سلول‌های سالم HEK 293 میزان سمیت سلولی بالای داشته است(۳۵).

منابع

1. Döhner H, Estey E, Grimwade D, Amadori S, Appelbaum FR, Büchner T, et al. Diagnosis and management of AML in adults: 2017 ELN recommendations from an international expert panel. *Blood*. 2017;129(4):424-47.
2. Zhang L, Samad A, Pombo-de-Oliveira M, Scelo G, Smith M, Feusner , et al. Global characteristics of childhood acute promyelocytic leukemia. *Blood Rev*. 2015;29(2):101-25.
3. Deschler B, Lübbert M. Acute myeloid leukemia: epidemiology and etiology. *Cancer*. 2006;107(9):2099-107.

4. Adams , Nassiri M. Acute promyelocytic leukemia: a review and discussion of variant translocations. *Arch Pathol Lab Med.* 2015;139(10):1308-13.
5. Ablain , de The H. Revisiting the differentiation paradigm in acute promyelocytic leukemia. *Blood.* 2011;117(22):5795-802.
6. de Bruin EC, Medema P. Apoptosis and non-apoptotic deaths in cancer development and treatment response. *Cancer Treat Rev.* 2008;34(8):737-49.
7. Elmore S. Apoptosis: a review of programmed cell death. *Toxicol Pathol.* 2007;35(4):495-516.
8. Silva N, Fernandes únior A. Biological properties of medicinal plants: a review of their antimicrobial activity. *Venom Anim Toxins Incl Trop Dis.* 2010;16(3):402-13.
9. Sarikurkcı C, Zengin G, Oskay M, Uysal S, Ceylan R, Aktumsek A. Composition, antioxidant, antimicrobial and enzyme inhibition activities of two *Origanum vulgare* subspecies (subsp. vulgare and subsp. hirtum) essential oils. *Ind Crops Prod.* 2015;70:178-84.
10. Mirzaee A, aberiHafashani H, Madani A. Antioxidant activities, total phenols and total Flavonoids assay of *Origanum vulgare*, *Teucrium polium* and *Thymus daensis*. *HM.* 2012;15(4):285-94.
11. Matsuura H, Chii H, Asakawa C, Amano M, Yoshihara T, Mizutani . DPPH radical scavengers from dried leaves of oregano (*Origanum vulgare*). *Biosci Biotechnol Biochem.* 2003;67(11):2311-6.
12. Savini I, Arnone R, Catani MV, Avigliano L. *Origanum vulgare* induces apoptosis in human colon cancer caco2 cells. *Nuter Cancer.* 2009;61(3):381-9.
13. Moloudi MR, Hassanzadeh K, Rouhani S, Zandi F, Ahmadi A, Khalwatian P, et al. Effect of chloroformic extract of *Cichorium intybus* on liver function tests and serum level of TNF-α in obstructive cholestasis in rat. *SKU.* 2014;19(4):10-9.
14. Hassanzadeh K, Nikzaban M, Moloudi MR, Izadpanah E. Effect of selegiline on neural stem cells differentiation: a possible role for neurotrophic factors. *Iran Basic Med Sci.* 2015;18(6):549.
15. Banerdpongchai R, Kongtawelert P. Ethanolic extract of fermented Thunb induces human leukemic HL-60 and Molt-4 cell apoptosis via oxidative stress and a mitochondrial pathway. *Asian Pac Cancer Prev.* 2011;12(11):2871-4.
16. Shafie A, Moradi F, Izadpanah E, Mokarizadeh A, Moloudi MR, Nikzaban M, et al. Neuroprotection of donepezil against morphine-induced apoptosis is mediated through Toll-like receptors. *Eur Pharmacol.* 2015;764:292-7.
17. Nguyen PM, Dagley LF, Preaudet A, Lam N, Giam M, Fung KY, et al. Loss of Bcl-G, a Bcl-2 family member, augments the development of inflammation-associated colorectal cancer. *Cell Death Differ.* 2019;1-16.
18. Alp E, Yilmaz A, Önem İH, Menevşe ES. Effects of EF-24, RAD001, and paclitaxel on the expression profiles of apoptotic and anti-apoptotic genes. *Cancer Res Ther.* 2017; 13(2); 346-346.
19. Alharbi RA, Pandha HS, Simpson GR, Pettengell R, Poterlowicz K, Thompson A, et al. Inhibition of HOX/PBX dimer formation leads to necroptosis in acute myeloid leukemia cells. *Oncotarget.* 2017;8(52):89566.
20. Kandeil MA, Hassanin KM, Mohammed ET, Safwat GM, Mohamed DS. Wheat germ and vitamin E decrease BAX/BCL-2 ratio in rat kidney treated with gentamicin. *Beni Suef Univ Basic Appl Sci.* 2018;7(3):257-62.
21. Wu H, Wang Y, Chen T, Li Y, Wang H, Zhang L, et al. The N-terminal polypeptide derived from vMIP-II exerts its anti-tumor activity in human breast cancer by regulating lncRNA SPRY4-IT1. *Bioscie Rep.* 2018;38(5).
22. Zhaleh F, Amiri F, Mohammadzadeh-Vardin M, Bahadori M, Harati MD, Roudkenar MH, et al. Nuclear factor erythroid-2 related factor 2 overexpressed mesenchymal stem cells transplantation, improves renal function, decreases injuries markers and increases repair markers in glycerol-induced Acute kidney injury rats. *Iran Basic Med Sci.* 2016;19(3):323.
23. Hosseinzadeh Anvar L, Hosseini-Asl S, Mohammadzadeh-Vardin M, Sagha M. The telomerase activity of selenium-induced human umbilical cord mesenchymal stem cells is associated with different levels of c-Myc and p53 expression. *DNA Cell Biol.* 2017;36(1):34-41.
24. Ricci MS, Zong W-X. Chemotherapeutic approaches for targeting cell death pathways. *Oncologist.* 2006;11(4):342-57.

-
25. Cheung-Ong K, Giaever G, Nislow C. DNA-damaging agents in cancer chemotherapy: serendipity and chemical biology. *Chem Bio.* 2013;20(5):648-59.
 26. Ng C-H, Chng W-. Recent advances in acute promyelocytic leukaemia. *F1000Research.* 2017;6:1273-1273.
 27. Yokoyama C, Sueyoshi Y, Ema M, Mori Y, Takaishi K, Hisatomi H. Induction of oxidative stress by anticancer drugs in the presence and absence of cells. *Oncol Lett.* 2017;14(5):6066-70.
 28. Alimoghaddam K. A review of arsenic trioxide and acute promyelocytic leukemia. *Int Hematol Oncol Stem Cell Res.* 2014;8(3):44.
 29. Liu Z, Ren Z, Zhang , Chuang C-C, Kandaswamy E, Zhou T, et al. Role of ROS and nutritional antioxidants in human diseases. *Front Physiol.* 2018;9:477-477
 30. Coccimiglio , Alipour M, iang Z-H, Gottardo C, Suntres Z. Antioxidant, antibacterial, and cytotoxic activities of the ethanolic *Origanum vulgare* extract and its maor constituents. *Oxid Med Cell Longev.* 2016;2016.
 31. Al Dhaheri Y, Eid A, AbuQamar S, Attoub S, Khasawneh M, Aiche G, et al. Mitotic arrest and apoptosis in breast cancer cells induced by *Origanum maorana* extract: upregulation of TNF- α and downregulation of survivin and mutant p53. *PLoS One.* 2013;8(2):e56649.
 32. Begnini KR, Nedel F, Lund RG, Carvalho PHdA, Rodrigues MRA, Beira FTA, et al. Composition and antiproliferative effect of essential oil of *Origanum vulgare* against tumor cell lines. *Med Food.* 2014;17(10):1129-33.
 33. Grbović F, Stanković M, Ćurčić M, Đorđević N, Šeklić D, Topuzović M, et al. In vitro cytotoxic activity of *Origanum vulgare* L. on HCT-116 and MDA-MB-231 cell lines. *Plants.* 2013;2(3):371-8.
 34. Kim C, Cho SK, Kapoor S, Kumar A, Vali S, Abbasi T, et al. β -caryophyllene oxide inhibits constitutive and inducible STAT3 signaling pathway through induction of the SHP-1 protein tyrosine phosphatase. *Mol Carcinog.* 2014;53(10):793-806.
 35. Elshafie H, Armentano M, Carmosino M, Bufo S, De Feo V, Camele I. Cytotoxic activity of *Origanum vulgare* L. on hepatocellular carcinoma cell line HepG2 and evaluation of its biological activity. *Molecules.* 2017;22(9):1435.